

徳島大学 工学部 正員 宇都宮英彦
徳島大学 大学院 学生員 島山圭司

I. まえがき

Long Creek 橋を対象として、同一スケールの2次元模型(2D)と、3次元模型(3D)を製作し、その応答を比較することは、筆者等によって既に報告されている⁽¹⁾⁽²⁾。ここでは、この同じ橋について文献(2)において報告されたデータを中心として、更にいくつかの実験を追加して、2D及び3D模型の間の応答が、主として空力減衰の振幅依存性によって、必ずしも一意的に対応関係を示さないということが確認した。

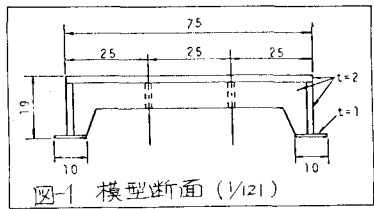


図-1 模型断面 (1/121)

II. 実験の概要

模型は図1に示すフレートガーターであり、縮尺1/121、2Dの場合の模型長は30cmである。3Dは、所謂タウトストリップ模型であり、スパン長135cmで、12フロフクに分割され、ピアノ線に固定している。(2Dも同様の支持方法がとられた。) 質量と減衰率を変えて、数種のスクルートン数に対する実験を行ったが、この場合、ワイヤ張力の調整により固有振動数はほぼ一定値(13.8~14.2Hz)を保つようにした。

流れの場は、今回は一様流が中心であったが、一部、乱流場での実験を追加した。これらはすべて、一様乱格子乱流を用いた。

III. V-A曲線による渦動振応答の比較

図2は、スクルートン数 $M=18$, $M=50$ の2つのケースについて、2Dと3Dの渦動振応答を比較したものである。図中の実線は、実験結果そのままプロットしたものであり、両者は比較的良好一致しているように見える。しかし、この実験では、2つの模型が全く同一に作られているために、たとえば、空気力の振幅依存性を無視して、慣性力と、外力による仕事の等価性のみを考慮すると、所謂剥離係数と同様の考え方によつて、応答量の修正が必要となる。これによつて、2Dの応答を3Dと等価な系として評価するには、実験結果に λ を乗せねばならない。図中の破線は、このようにして修正された2D模型の応答である。両者と等価な系と見なして比較すると、本模型断面では2Dの応答が大きくなつており、しかも、 μ の値が大きい程、その差が大きくなる傾向が認められるが、その原因是、主に作用空気力の非線形な振幅依存性にあると考えられる。

図3は、 $M=28$ の2D模型のV-A曲線の詳細である。最大振幅を生じる風速近傍で、不安定なりミットサイクルの存在することが確かめられている。このような場合には、3D模型に作用する空気力は、スパン中央部では加振

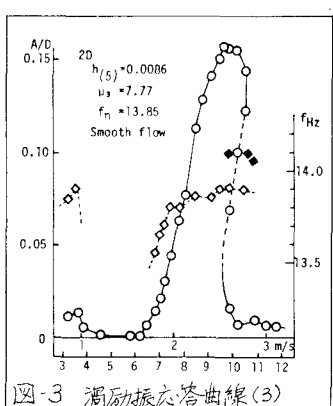
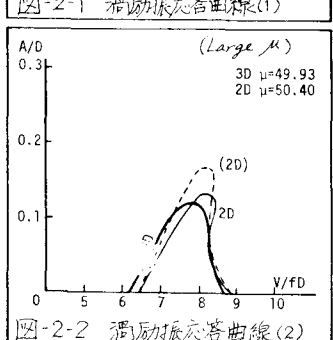
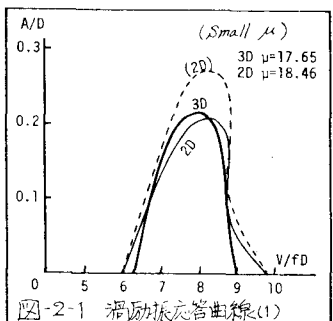


図-3 渦動振応答曲線(3)

力が、支点付近では制振力が作用するため、風模型の場合の一様な応答とはならず、両者の応答の差が増すことになる。

図中には同時に、各振幅に対する共振動数が示されている。これらはFFT解析器によって求めたものである。円柱の渦側振動に見られる非線形振動と固有振動数変化⁽³⁾の様子となり、振幅の増加と共に共振動数が徐々に増加し、同期領域内でも変化を続ける。最大振幅時に固有振動数に一致している。図中の $V_r = 10$ 附近で 2 種の共振動数が示されているが、大きい方の値は、不安定なりミットサイクル以下の振動数であり、共振動数から外れている。

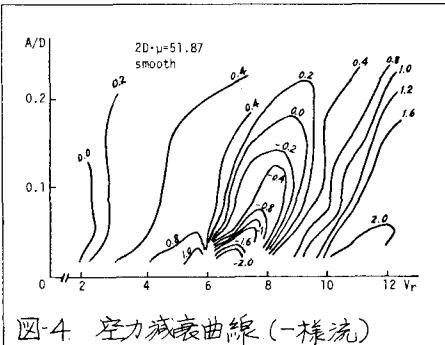


図-4 空力減衰曲線(一様流)

IV. 空気力係数曲線(V-A-h, A-h 曲線)

図4は既に報告した⁽²⁾自由振動法によって求められた 2D 模型の空力減衰曲線である。ここでは無風時減衰を消去しているため、その振幅依存性は除去して考えることができる。図中の直減衰領域が右側へ倒れた曲線群で構成されており、本断面か、基本的には 2D と 3D の間で応答に差を生じる可能性の高いものであることが判る。乱流中で、同様の V-A-h 曲線を求めるとき、直減衰領域は直立に近くになり、不安定リミットサイクルは消えて一様流とは逆の振幅依存性を示すようになる。

図5は、2D 模型、 $\mu = 50$ 、 $V_r = 8.5$ における A-h 曲線である。一様流中では、倍振幅 2mm を境にして、直減衰空気力が振幅の減少と共に弱まっているのに対し、乱流中では単調に変化して、小振幅の場合ほど、大きな制振力を受けることを示している。しかしながら、振幅の増加と共に制振力が急速に弱められることは確実である。これらか、2D と 3D との応答の差異を考慮していくことがわかる。

図6は、図3における $V_r = 10$ における模型周辺の流れの変動と調べたものであるが、実験条件が異なるために固有振動数は、わずかに大きい值となっている。図中の数字は、その位置における流速変動スペクトルのピーク振動数を記したものである。振幅 $A/D = 0.3$ では、自動型の前縁剥離形の振動であるのに対し、 $A/D = 0.03$ の小振幅では、流れの場合はストローハル成分によつて支配されているようである。

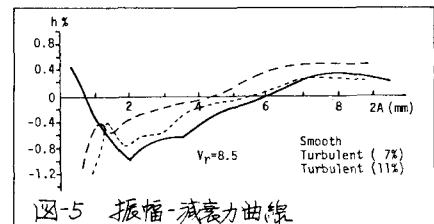


図-5 振幅-減衰力曲線

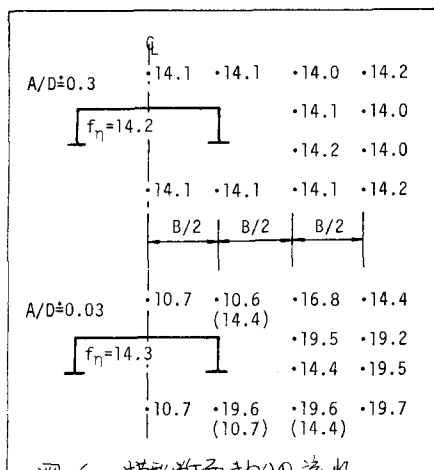


図-6 模型断面まわりの流れ

V. おわり

2D 模型と 3D 模型の応答の相異を、空力減衰の非線形と振幅依存性によって説明した。しかし、これは、断面に固有のものであり、他の断面形では、また異った対応があるようであり、これらについて、更に詳細な実験を追加して、総合的な実験を要する必要がある。

(1) R.L.Wendland, et al : J. Wind Eng. & Ind. Aero., Vol. 14, 1983, p.247

(2) 宇都宮, 田町: 第38回年講演会集, 第1部, 1983, p.607

(3) 笠口, 地: 構造物の耐風性に関する討論会シンポ. 論文集, 1970, p.153.